Древнейшие породы фундамента и внеземное вещество Центрально-Кольского и Мурманского мегаблоков (С-В части Фенноскандинавского щита, Арктический регион): новые U-Pb и LA-ICP-MS данные

Баянова Т. Б. ¹, Дрогобужская С. В. ³, Кунаккузин Е. Л. ¹, Стешенко Е. Н. ¹, Докукина К. А. ², Ниber M. A. ⁴, Данилина В. Г. ⁵, Данилин К. П. ⁵, Елизаров Д. В. ¹

Аннотация. Статья посвящена новым изотопным (U-Pb, SHRIMP, ICP-MS, Sm-Nd, Rb-Sr) и геохмическим (Isr, єNd, TDM, REE, Ir) данным для континентальной коры эоархей-палеоархейского возраста Центрально-Кольского и Мурманского мегаблоков, расположенных в С-В части Фенноскандинавского щита, Арктический регион. На основе большого банка изотопно-геохимических данных для серых гнейсов, ТТГ и амфиболитов были выделены интервалы формирования пород фундамента в 3.4 и 2.9 млрд лет и изучены ICP-MS методами концентрации Ir индикатора вклада внеземного вещества (метеоритов) для пород двух мегаблоков.

Ключевые слова: U-Pb, LA-ICP-MS, SHRIMP, Iг аномалия, породы фундамента, Арктика, Фенноскандинавский щит.

The oldest rock types of the foundation and extraterrestrial material of the Central-Kola and Murmansk megablocks (northwestern part of the Fennoscandian Shield of the Arctic region): new U-Pb and LA-ICP-MS data

Bayanova T. B. 1, Drogobuzhskaya S. V. 3, Kunakkuzin E. L. 1, Steshenko E. N. 1, Dokukina K. A. 2, Huber M. A. ⁴, Danilina V. G. ⁵, Danilin K. P. ⁵, Elizarov D. V. ¹

Abstract. The article is dedicated to new isotopic (U-Pb, SHRIMP, ICP-MS, Sm-Nd, Rb-Sr) and geochemical (Isr, ENd, TDM, REE, Ir) data for the continental crust of Eoarchean-Paleoarchean age in the Central Kola and Murmansk megablocks, located in the northwestern part of the Fennoscandian Arctic Shield. Based on a large database of isotope-geochemical data for gray gneisses, TTG and amphibolites, formation intervals of the basement rocks were identified at 3.4 and 2.9 Ga ago. The ICP-MS method was used to study Ir concentrations as an indicator of extraterrestrial material (meteorite) contribution in rocks from two megablocks.

Keywords: U-Pb, LA-ICP-MS, SHRIMP, Ir anomaly, basement rocks, Arctic, Fennoscandian Shield.

Реликты древнейших пород ТТГ и серых гнейсов хадей-палеоархейского возраста (4.0–3.6 млрд лет) известны на всех континентах мира (Bleeker, 2003; Moyen et al., 2012; Arndt, 2023 и др.).

В пределах С-В части Балтийского или Фенноскандинавского щита Арктического региона геологическое изучение, а также U-Pb и SHRIMP датирование циркона из серых гнейсов было

¹ Геологический институт КНЦ РАН, Anamumы, t.bayanova@ksc.ru

 $^{^2}$ Геологический институт Российской академии наук, Москва, ksdokukina@gmail.com

 $^{^3}$ Институт химии и технологии редких элементов и минерального сырья им. И. В. Тананаева КНЦ РАН, Апатиты, s.drogobuzhskaia@ksc.ru

⁴ Marie Curie-Skłodowska University, Lublin, grossular107umcs@gmail.com

 $^{^5}$ Федеральный исследовательский центр «Кольский научный центр РАН», Anamumы, k.danilin@ksc.ru

¹ Geological Institute, Kola Science Centre, Russian Academy of Sciences, Apatity, t.bayanova@ksc.ru

² Geological Institute, Russian Academy of Sciences, Moscow, ksdokukina@gmail.com

³ Tananaev Institute of Chemistry and Technology of Rare Elements and Mineral Raw Materials, Kola Science Centre, Russian Academy of Sciences, Apatity, s.drogobuzhskaia@ksc.ru

⁴ Marie Curie-Skłodowska University, Lublin, grossular107umcs@gmail.com

⁵ Kola Science Centre, Russian Academy of Sciences, Apatity, k.danilin@ksc.ru

https://doi.org/10.31241/FNS.2025.22.052

Таблица 1. Геохронологические данные для архейских пород северо-восточной части Фенноскандинавского щита

Table 1. Geochronological data for Archean rocks of the northeastern part of the Fennoscandian Shield

| Местоположение | Порода | Метод | Возраст, млн лет | Ссылка |
|---|---|-----------|-------------------------------|-------------------------|
| | Тоналиты | | 3138 ± 63 | |
| Выг-ручей, Водлозерский блок | Лейкосомы трондьемитовых мигматитов | U-Pb TIMS | 3210 ± 12 | Лобач-Жученко |
| Лай-ручей, Водлозерский блок | Тоналиты | | 3166 ± 14 | и др., 1993 |
| | Гнейсы | | 3151 ± 18 | |
| | Томолити | | 2850 ± 74 | |
| | Тоналиты | | 2767 ± 23 | Чекулаев и др., 2013 |
| Водлозерский блок | Гнейсы | SHRIMP II | 2967 ± 7 | 2013 |
| | Гнейсы | SHRIMP II | 3240 ± 14 | |
| | Гнейсы | | 3153 ± 5.4 | Сергеев и др., 2007 |
| | Тоналитовые гнейсы | | 3236 ± 17 | 2007 |
| | Гранат-биотитовые гнейсы | | $2909 \pm 9 - 2732 \pm 13$ | |
| | Силлиманит-гранат- биотитовые гнейсы | | $2860 \pm 10 - \\ 2636 \pm 9$ | |
| Центрально-Колский блок, район | Силлиманит-гранат- биотитовые гнейсы | SHRIMP II | 3202 ± 7 | Мыскова и др., 2015 |
| | Силлиманит-гранат- биотитовые гнейсы | | 3341 ± 10 | |
| | Силлиманит-гранат- биотитовые гнейсы | | 3461 ± 5 | |
| Воче-Ламбина, Центрально-Кольский блок | Тоналитовые гнейсы | U-Pb TIMS | 3158.2 ± 8.2 | Морозова и др., 2012 |

начато в прошлом веке — Е. Бибиковой, С. Лобач-Жученко, С. Сергеевым, В. Глебовицким, Ф. Митрофановым и многими другими, суммированные результаты изложены в большой книге (Van Kranendonk et al., 2019) и представлены в табл. 1.

В 2012 г. были начаты полевые работы в Центрально-Кольском и в 2017 г. в Мурманском мегаблоках. Изученные объекты представлены на рис. 1.

Изучение серых гнейсов Центрально-Кольского мегаблока было инициировано академиком РАН Митрофановым Ф. П. в 2012 г. в связи со строительством новых дорожных развязок в районе г. Мурманска и появлением новых обнажений — дорожных выемок. Около памятника «Защитникам Советского Заполярья в годы Великой Отечественной войны» (г. Мурманск) была отобрана большая представительная проба высокоглинозёмистых серых гнейсов для U-Pb изучения по акцессорным минералам времени процессов магматизма и метаморфизма пород фундамента. На изотопное U-Pb датирование были вручную отобраны единичные зёрна цирконов (рис. 2 а), к которым была применена методика дробления зерен, изотопные результаты представлены в (рис. 2 б, табл. 2). U-Pb методом по единичным цирконам измерен возраст 2775 ± 15 млн лет, СКВО = 1.5, который интерпретируется как время регионального метаморфизма амфиболитовой фации (высокие концентрации U и Pb). Координаты одной точки на U-Pb диаграмме с конкордией отражает возраст в 3.16 млрд лет — который интерпретируется как время формирования изверженного протолита серых гнейсов.

Цирконы, в которых были обнаружены реликтовые ядерные части были продатированы SHRIMP-II методом (ВСЕГЕИ, Санкт-Петербург) в центре изотопных исследований (рис. 2 б, табл. 3).

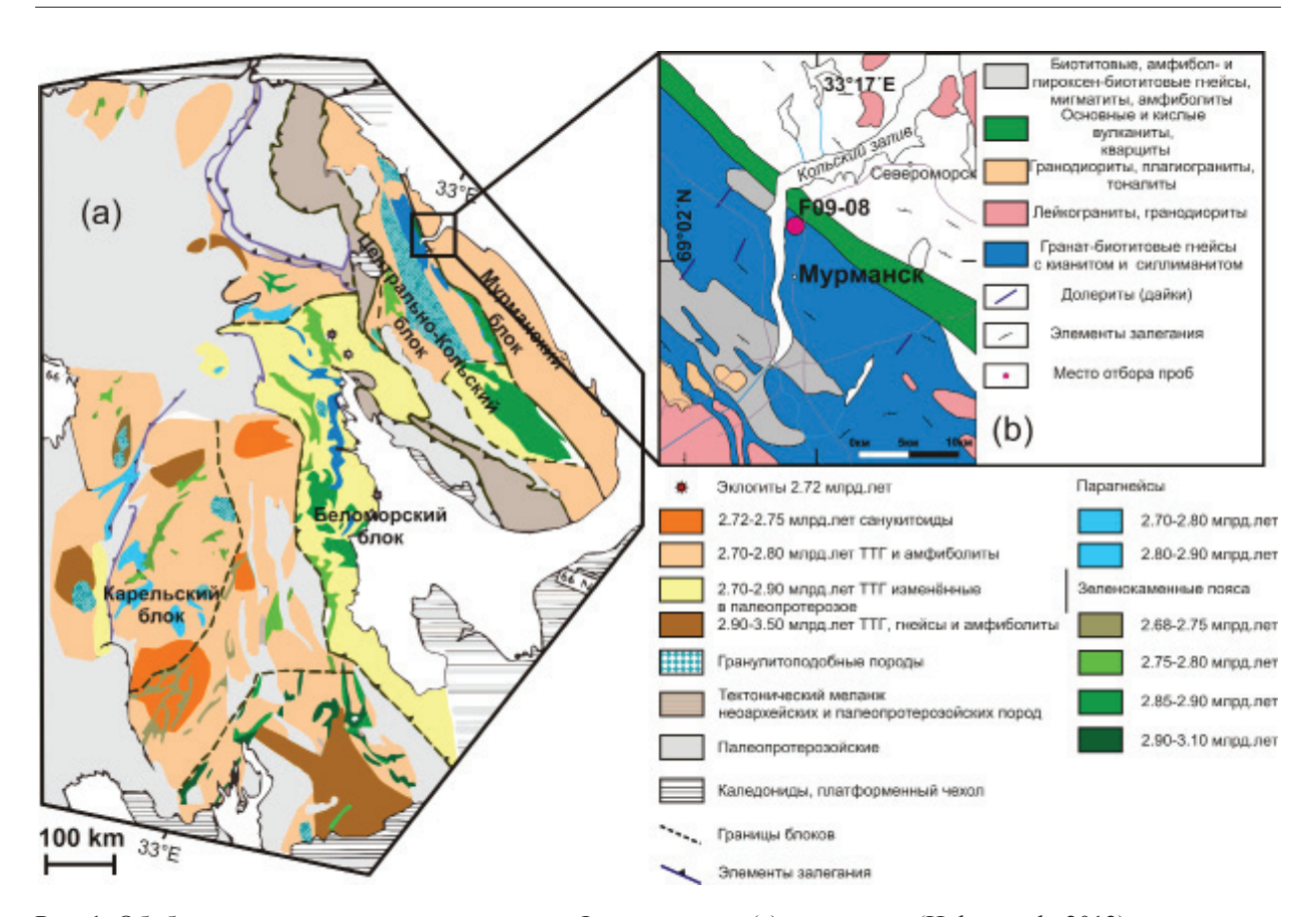


Рис. 1. Обобщенная геологическая карта архея Фенноскандии (а) по данным (Holtta et al., 2012) и схематическая геологическая карта района г. Мурманск (б)

Fig. 1. Generalized geological map of the Archean of Fennoscandia (a) based on data from (Holtta et al., 2012) and a schematic geological map of the Murmansk area (b)

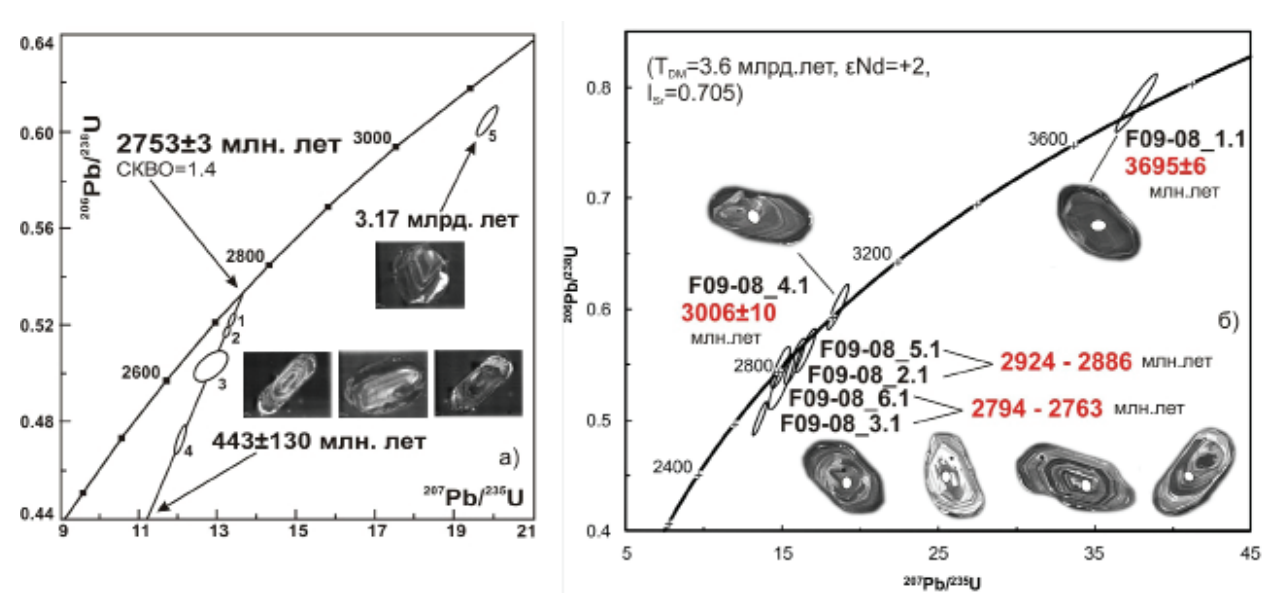


Рис. 2. Изотопные U-Pb диаграммы с конкордией для цирконов из гнейсов Центрально-Кольского блока (a) ID TIMS данные; (б) SHRIMP данные

Fig. 2. Isotope U-Pb concordia diagrams for gneisses of the Central Kola Block (a) ID TIMS data and (b) SHRIMP data

Таблица 2. Изотопные U-Pb данные для циркона из гнейсов Центрально-Кольского блока (проба F-09-08)

Table 2. U-Pb isotopic data for zircon from the gneisses of the Central Kola Block (sample F-09-08)

| Проба Навеск № мг | | Содержание, ррт | | Изотопн | ый состав с | винца 1 | Изотопны | Rho | | |
|----------------------|------|-----------------|-------|--------------------------------------|--------------------------------------|--------------------------------------|-------------------------------------|-------------------------------------|--------------------------------------|------|
| Nº | МГ | Pb | | ²⁰⁶ Pb/ ²⁰⁴ Pb | ²⁰⁶ Pb/ ²⁰⁷ Pb | ²⁰⁶ Pb/ ²⁰⁸ Pb | ²⁰⁷ Pb/ ²³⁵ U | ²⁰⁶ Pb/ ²³⁸ U | ²⁰⁷ Pb/ ²⁰⁶ Pb | |
| 1 | 0.10 | 570.5 | 853.5 | 377.3 | 4.4960 | 4.6981 | 13.6639 | 0.520509 | 2746 | 0.90 |
| 2 | 0.40 | 73.4 | 122.4 | 1569.7 | 5.0300 | 7.3525 | 13.6052 | 0.517448 | 2752 | 0.96 |
| 3 | 0.20 | 105.6 | 62.5 | 39.4 | 2.0155 | 0.9683 | 13.1366 | 0.502440 | 2739 | 0.59 |
| 4 | 0.20 | 30.9 | 55.2 | 898.6 | 4.9505 | 6.5013 | 12.2840 | 0.472568 | 2729 | 0.95 |
| 5 | 0.20 | 139.6 | 170.5 | 1115.2 | 3.8733 | 3.3616 | 20.6889 | 0.604176 | 3174 | 0.97 |

Примечание. 1 Все отношения скорректированы на холостое загрязнение 0.08 нг для Pb и 0.04 нг для U и массдискриминацию 0.12 ± 0.04 %.

Методика U-Рb изотопного датирования акцессорных минералов приведена в работе (Баянова, 2004).

Таблица 3. Изотопные SHRIMP данные для циркона из гнейсов Центрально-Кольского блока (проба F-09-08) (данные ВСЕГЕИ, аналитик Ларионов А.)

Table 3. Isotopic SHRIMP data for zircon from the gneisses of the Central Kola Block (sample F-09-08) (data from VSEGEI, analyst Larionov A.)

| Точка | % ²⁰⁶ Pb _c | ppm U | ppm Th | ppm ²⁰⁶ Pb* | ²³² <u>Th</u> | 206 P b | 1) 2 ²³⁸ U ge | (1 207 Pb ² Ag | ²⁰⁶ Pb | % Dis- cor- dant | (1) 238 <u>U</u> 206Pb* | ± % | (1) ²⁰⁷ <u>Pb</u> * ²⁰⁶ Pb* | ±% | (1) ²⁰⁷ <u>Pb</u> * ²³⁵ U | ± % | (1) 206 <u>Pb</u> * 238U | ± % | err |
|------------|-------------------------------------|----------|-----------|---------------------------|--------------------------|----------------|--------------------------------|---------------------------------|-------------------|---------------------------|-------------------------------|--------|---|------|---|--------|--------------------------------|--------|------|
| F09-08_6.1 | | 232 | 298 | 100.0 | 1.32 | 2622 | ± 27 | 2794 | ± 9 | +8 | 1.99 | 1.2 | 0.1961 | 0.52 | 13.6 | 1.3 | 0.502 | 1.2 | 0.92 |
| F09-08_7.1 | 0.05 | 141 | 91 | 66.3 | 0.67 | 2815 | ± 32 | 2803 | ± 14 | -1 | 1.83 | 1.4 | 0.1971 | 0.85 | 14.9 | 1.7 | 0.548 | 1.4 | 0.86 |
| F09-08_3.1 | 0.06 | 44 | 34 | 20.4 | 0.80 | 2763 | ± 43 | 2850 | ± 18 | +4 | 1.87 | 1.9 | 0.2029 | 1.10 | 15.0 | 2.2 | 0.535 | 1.9 | 0.87 |
| F09-08_2.1 | | 126 | 100 | 60.0 | 0.82 | 2839 | ± 35 | 2886 | ± 13 | +2 | 1.81 | 1.5 | 0.2075 | 0.78 | 15.8 | 1.7 | 0.553 | 1.5 | 0.89 |
| F09-08_5.1 | | 125 | 157 | 60.6 | 1.30 | 2878 | ± 33 | 2924 | ± 12 | +2 | 1.78 | 1.4 | 0.2125 | 0.71 | 16.5 | 1.6 | 0.563 | 1.4 | 0.89 |
| F09-08_4.1 | | 135 | 119 | 69.8 | 0.91 | 3039 | ± 34 | 3006 | ± 10 | -1 | 1.66 | 1.4 | 0.2235 | 0.60 | 18.6 | 1.5 | 0.602 | 1.4 | 0.92 |
| F09-08_1.1 | 0.04 | 281 | 108 | 189.5 | 0.40 | 3740 | ± 39 | 3695 | ± 6 | -2 | 1.27 | 1.4 | 0.3473 | 0.39 | 37.7 | 1.4 | 0.786 | 1.4 | 0.96 |

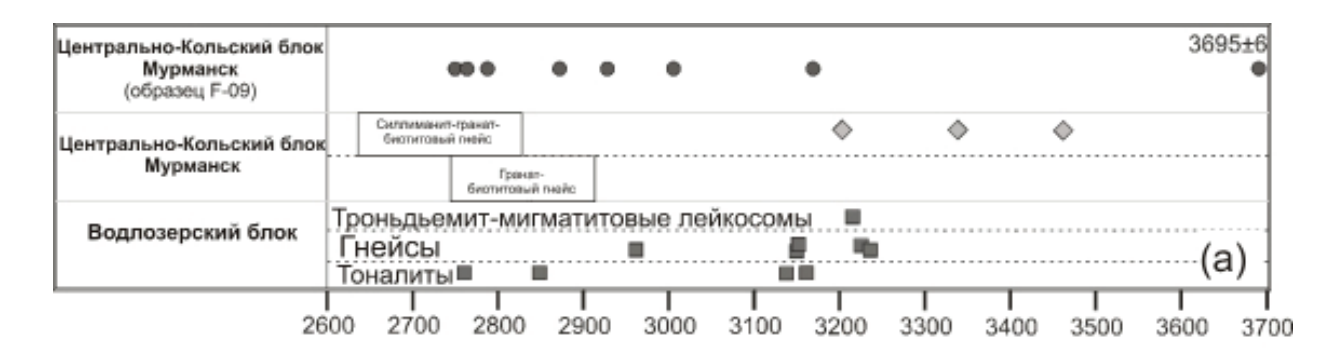
Примечаение. Методика SHRIMP-II исследований представлена в работе (Larionov et al., 2004).

Изотопные данные по циркону (SHRIMP-II) отразили эоархейский возраст равный 3.7 млрд лет для ядерных зон циркона, выделенного из серых гнейсов Центрально-Кольского мегаблока (рис. 2 а, табл. 3). В пределах Фенноскандинавского щита на территории Финляндии в ядрах циркона, выделенного из ТТГ гнейсов гранулитовой фации метаморфизма (гнейсы Siurua) был получен возраст 3.73 млрд лет (Nordsim). Все суммированные возрастные изотопные SHRIMP (рис. 3 а) и Sm-Nd данные для пород Финляндии (рис. 3 b) были опубликованы в работах (Hölttä, 2012; Huhma, 2016).

Изотопные (Sm-Nd и Rb-Sr) и геохимические (REE, ЭПГ, Ag, Au, Cu и Ni) данные для внеземного вещества

Породы с признаками внеземных (импактных) событий впервые были обнаружены в пределах Центрально-Кольского мегаблока массива Ярва-Варака (в Мончегорском рудном узле), где были изучены гранофировые породы и продатированы U-Pb методом цирконы с импактным событием в 2.5 млрд лет (Nerovich et al., 2023). Комплексное изучение пород фундамента было осно-

² Коррекция на примесь обыкновенного свинца определена на возраст по модели Стейси и Крамерса (Stacey, Kramers, 1975).



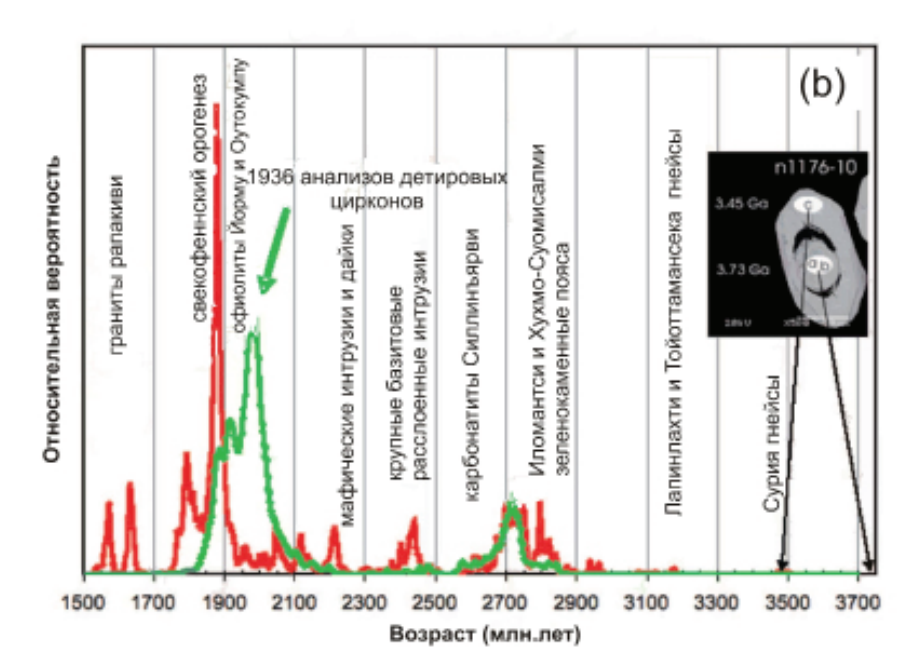


Рис. 3. Суммированные возрастные изотопные данные для пород С-В части Фенноскандинавского щита (а) и Sm-Nd данные для интрузий (b) Финляндии (990 образцов, 740 опубликовано)

Fig. 3. Summed age isotopic data for rocks of the N-E part of the Fennoscandian Shield (a) and Sm-Nd data for intrusions (b) in Finland (990 samples, 740 published)

вано на прецизионном U-Pb датировании единичных зерен цирконов и их ядерных частей методами SHRIMP и Nordsim, а также Sm-Nd и Rb-Sr изотопном исследовании пород. Результаты изотопногеохимических исследований приведены табл. 4 и 5.

Таблица 4. Изотопно-геохимические Sm-Nd данные для пород Центрально-Кольского и Мурманского мегаблоков

| TC 11 4 T 4 | 1 ' 10 11 | 11, 6 1 | C 1 C 1 1 TZ 1 | 136 1 11 1 |
|-----------------------|-------------------|--------------------|--------------------|------------------------------|
| Lable 4 Isotone-geo | chemical Sm-Nd | i data tor rocks o | t the Central Kola | a and Murmansk megablocks |
| 1 abic 4. 130topc-200 | CHCHICAL DILI-LYO | i data idi ideks d | i ine centian ixon | a and maintainsk inceautocks |

| № | Номера | Порода | MKI/I | | Изотопные отношения | | ±2s | Т, млн | $\varepsilon_{Nd}(T)$ | T _{DM} , | |
|------------------------------|--------------|------------------------------------|-------|-------|--------------------------------------|-------------|-----|-----------|-----------------------|-------------------|--|
| | проб | - | Sm | Nd | ¹⁴⁷ Sm/ ¹⁴⁴ Nd | 143Nd/144Nd | | лет | ING - | млн лет | |
| Центрально-Кольский мегаблок | | | | | | | | | | | |
| Плаги | ограниты и і | тоналиты | | | | | | | | | |
| 1 | MSK-11/1 | Гранит с сульфидной минерализацией | 1.442 | 7.946 | 0.1096 | 0.511063 | 14 | 2.81 | 0.80 | 3039 | |
| 2 | MSK-34/1 | Q-ПШ-Вt порода с сульфидами | 3.079 | 16.41 | 0.1134 | 0.510921 | 8 | 2.81 | -3.38 | 3366 | |
| 3 | MSK-35/1 | Q-ПШ порода с сульфидами | 0.754 | 4.113 | 0.1108 | 0.510818 | 13 | 2.81 | -4.46 | 3431 | |
| 4 | MSK-38/2 | Мигматит с сульфидами | 3.609 | 19.13 | 0.1140 | 0.511103 | 10 | 2.81 | -0.02 | 3112 | |
| 5 | MSK-53/2 | Тоналит | 4.223 | 30.73 | 0.0831 | 0.510616 | 9 | 2.81 | 1.67 | 2942 | |

| Тродо | олжение таб | 5лицы 4 | | | | | | | | |
|-------|------------------|--|--------|------------------|-------------|----------------------|-----|---------|-----------------------|-------------------|
| № | Номера | Порода | | нтрации, кг/г | | отношения | ±2s | T, | $\varepsilon_{Nd}(T)$ | T _{DM} , |
| | проб | - | Sm | Nd | 147Sm/144Nd | 143Nd/144Nd | | млн лет | l Nu · | млн лет |
| Гнейс | ы и амфибол | иты | | | | | | | | |
| 6 | MSK-7/1 | Гранат-биотитовый гнейс | 2.178 | 12.827 | 0.1026 | 0.510908 | 7 | 2.81 | 0.30 | 3059 |
| 7 | MSK-8/1 | Биотитовый гнейс с гранатом и сульфидной минерализацией | 2.204 | 13.048 | 0.1017 | 0.510849 | 4 | 2.81 | -0.53 | 3114 |
| 8 | MSK-13/1 | Гранат-ставролит-биотитовый гнейс с кианитом | 2.736 | 12.328 | 0.1041 | 0.510887 | 10 | 2.81 | -0.66 | 3129 |
| 9 | MSK-14/1 | Гранат-биотитовый гнейс | 2.002 | 16.454 | 0.1235 | 0.511305 | 19 | 2.81 | 0.48 | 3101 |
| 10 | MSK-17/1 | Биотитовый гнейс с гранатом | 2.698 | 13.583 | 0.1132 | 0.510975 | 21 | 2.81 | -2.25 | 3279 |
| 11 | MSK-19/2 | Гранат-биотит-ставролитовый гнейс | 3.913 | 21.892 | 0.1080 | 0.511036 | 5 | 2.81 | 0.85 | 3032 |
| 12 | MSK-24/1 | Биотит-пироксеновый гнейс | 7.532 | 41.578 | 0.1095 | 0.511047 | 10 | 2.81 | 0.52 | 3060 |
| 13 | MSK-26/1 | Метагабброиды | 3.880 | 25.336 | 0.0926 | 0.510812 | 12 | 2.81 | 2.06 | 2928 |
| 14 | MSK-26/3 | Метагабброиды | 3.465 | 19.384 | 0.1080 | 0.510835 | 10 | 2.81 | -3.10 | 3317 |
| 15 | MSK-27 | Гранат-биотитовый гнейс | 2.669 | 14.928 | 0.1081 | 0.5109 | 15 | 2.81 | -1.86 | 3228 |
| 16 | MSK-34/2 | Гранат-биотитовый гнейс | 2.012 | 11.822 | 0.1029 | 0.51087 | 10 | 2.81 | -0.56 | 3119 |
| 17 | MSK-37/1 | Гранат-биотитовый гнейс с сульфидами | 4.081 | 23.134 | 0.1066 | 0.510804 | 4 | 2.81 | -3.20 | 3318 |
| 18 | MSK-39/1 | Амфибол-биотитовый гнейс (метагабброид) | 4.456 | 26.961 | 0.0999 | 0.510868 | 12 | 2.81 | 0.50 | 3040 |
| 19 | MSK-40/2 | Двуслюдяной гнейс | 3.419 | 20.663 | 0.1000 | 0.510901 | 5 | 2.81 | 1.11 | 2999 |
| 20 | MSK-41/1 | Биотит-пироксеновый гнейс | 2.998 | 6.847 | 0.1447 | 0.511694 | 10 | 2.81 | 0.40 | 3200 |
| 21 | MSK-42/1 | Двуслюдяные гнейсы с про- слоями плагиогранитов с сульфидами | 4.194 | 15.231 | 0.1065 | 0.511034 | 9 | 2.81 | 1.35 | 2993 |
| 22 | MSK-51/1 | Биотит-амфиболовый гнейс | 10.727 | 48.912 | 0.1325 | 0.511473 | 9 | 2.81 | 0.51 | 3131 |
| Интен | нсивно измен | енные породы | | | | | | | | |
| 23 | MSK-7/2 | Амфиболит с сульфидной минерализацией | 5.152 | 23.851 | 0.1015 | 0.510858 | 16 | 2.50 | -4.14 | 3096 |
| 24 | MSK-37/2 | Тальк-хлорит-биотитовые сланцы | 1.672 | 7.585 | 0.1333 | 0.511414 | 9 | 2.20 | -5.99 | 3272 |
| 25 | MSK-37/3 | Тальк-хлорит-биотитовые сланцы с сульфидами | 3.086 | 16.568 | 0.1126 | 0.511122 | 11 | 2.20 | -5.83 | 3041 |
| 26 | MSK-36/2 | Биотит-мусковитовый гнейс интенсивно рассланцованный | 2.757 | 14.821 | 0.1124 | 0.510997 | 20 | 2.20 | -8.23 | 3220 |
| Честр | ратифициров | ванный комплекс | | | | | | | | |
| 27 | MSK-53/1 | Амфибол-биотитовый гнейс | 17.682 | 88.36 | 0.1209 | 0.511170 | 4 | 2.81 | -1.22 | 3233 |
| 28 | MSK-53/4 | Амфибол-биотитовый гнейс | 8.184 | 45.059 | 0.1197 | 0.511181 | 10 | 2.81 | -0.57 | 3175 |
| 29 | MSK-53/6 | Амфибол-биотитовый гнейс | 8.72 | 45.948 | 0.1147 | 0.511174 | 23 | 2.81 | 1.12 | 3026 |
| 30 | MSK-53/7 | Амфиболит | 13.054 | 76.153 | 0.1136 | 0.510914 | 9 | 2.81 | -3.59 | 3383 |
| 31 | MSK-53/8 | Амфиболит | 22.426 | 70.772 | 0.1215 | 0.511076 | 9 | 2.81 | -3.29 | 3407 |
| 32 | MSK-53/8 | Амфиболит | 22.426 | 70.772 | 0.1215 | 0.511076 | 9 | 2.81 | -3.29 | 3407 |
| | | | | ггаблок, Те | 1 1 | | | | | |
| 33 | MSK-28 | Гранодиоритогнейс | 2.846 | 10.49 | 0.1039 | 0.510817 | 18 | 2.81 | -1.96 | 3219 |
| 34 | MSK-30/2 | Гранодиоритогнейс | 4.967 | 23.837 | 0.1260 | 0.511337 | 10 | 2.81 | 0.20 | 3134 |
| 35 | MSK-31 MSK-50 | Плагиогранит с ксенолитами | 12.555 | 26.823 31.476 | 0.1829 | 0.512490 0.510666 | 12 | 2.81 | 0.39 | 3257 3027 |
| | IVISK -50 | Плагиогранит | 4.654 | 31476 | 0.0893 | LU 5 10666 | 14 | 1 / X I | 11.40 | 1 30077 |

Баянова Т. Б., Дрогобужская С. В., Кунаккузин Е. Л. и др. Тhttps://doi.org/10.31241/FNS.2025.22.052

Таблица 5. Изотопно-геохимические Rb–Sr данные для пород Центрально-Кольского и Мурманского мегаблоков

Table 5. Isotope-geochemical Rb-Sr data for rocks of the Central Kola and Murmansk megablocks

| | П | Содержа | ние, мкг/г | Изотоп | ные отног | цения | T, | IC (T) | C (T) |
|-------------|-----------|---------|------------|------------------------------------|------------------------------------|---------------|----------|---------|--------|
| Номера проб | Порода | Rb | Sr | ⁸⁷ Rb/ ⁸⁶ Sr | ⁸⁷ Sr/ ⁸⁶ Sr | $\pm 2\sigma$ | млн. лет | ISr(T) | εSr(T) |
| MSK-53/1 | Гнейс | 54.64 | 1332.4 | 0.115702 | 0.70849 | 0.00018 | 2.7 | 0.70397 | 39.4 |
| MSK-51/1 | Гнейс | 166.84 | 1462.2 | 0.321921 | 0.71893 | 0.00014 | 2.7 | 0.70635 | 73.4 |
| MSK-53/6 | Гнейс | 105.22 | 1025.9 | 0.289373 | 0.71489 | 0.00015 | 2.7 | 0.70358 | 33.89 |
| MSK-53/8 | Амфиболит | 20.58 | 235.8 | 0.246244 | 0.70781 | 0.00017 | 2.7 | 0.69819 | -43.03 |
| MSK-87 | Амфиболит | 31.01 | 228.3 | 0.321921 | 0.70981 | 0.00023 | 2.7 | 0.69723 | -56.69 |
| MSK-53/7 | Амфиболит | 176.05 | 1445.2 | 0.343695 | 0.71919 | 0.00039 | 2.7 | 0.70576 | 64.94 |
| MSK-51/4a | Амфиболит | 135.59 | 1100.6 | 0.347586 | 0.71687 | 0.00017 | 2.7 | 0.70328 | 29.7 |
| MSK-7/2 | Амфиболит | 23.18 | 133.9 | 0.488315 | 0.71776 | 0.00019 | 2.7 | 0.69867 | -36.1 |
| MSK-11/5a | Эндербит | 80.75 | 390.8 | 0.582979 | 0.72453 | 0.00024 | 2.7 | 0.70174 | 7.7 |
| MSK-5/5a | Эндербит | 134.98 | 334.0 | 1.140081 | 0.73570 | 0.00017 | 2.7 | 0.69814 | -143.5 |
| MSK-16/3a | Тоналит | 155.49 | 144.3 | 3.040401 | 0.78188 | 0.00026 | 2.7 | 0.69805 | -544.2 |

Примечание. Методика изотопных Rb-Sr измерений представлена в работе (Баянова, 2004).

Изотопные ICP-MS данные

Изучение Ir аномалии для пород Центрально-Кольского мегаблока — амфиболитов, эндербитов, серых гнейсов и тоналитов было начато в 2017 году после изучения статей и книг (Triatise on Geochemistry, 2003; Glikson et al., 2010, 2014; Kranendonk et al., 2019 и др.), посвященных формированию пород и метеоритным бомбардировкам на этапах ранней истории Земли, данные о которых суммированы в работах (Schmieder et al., 2020; Koeberl et al., 2024).

В табл. 6 и 7 приведены новые геохимические ICP-MS данные для изученных пород.

Таблица 6. Концентрации основных, редкоземельных и литофильных элементов в породах Центрально-Кольского мегаблока

Table 6. Concentrations of major, rare earth, and lithophile elements in rocks of the Central Kola megablock

| Образец | MSK- 5/5a | MSK- 11/5a | MSK- 16/3a | MSK- 51/1 | MSK- 53/6 | MSK- 53/1 | MSK- 51/4a | MSK- 53/7 | MSK- 53/8 | MSK- 87 | MSK- 51/3a | MSK- 7/2 | |
|----------------------------------|--------------|---------------|---------------|--------------|--------------|--------------|---------------|--------------|--------------|------------|---------------|-------------|--|
| | Эндер | биты | Тоналиты | Гнейсы | | | Амфиболиты | | | | | | |
| | | | | | | % | | | | | | | |
| SiO ₂ | 70.9212 | 65.25 | 72.404 | 45.09 | 53.75 | 65.9 | 65.89 | 65.04 | 45.38 | 65.51 | 65.7 | 54.859 | |
| Al_2O_3 | 16.59 | 14.40 | 13.50 | 16.64 | 16.74 | 14.13 | 14.13 | 14.49 | 8.02 | 14.29 | 14.21 | 21.29 | |
| TiO ₂ | 0.12 | 0.52 | 0.32 | 0.89 | 0.62 | 0.51 | 0.51 | 0.52 | 0.51 | 0.52 | 0.51 | 1.01 | |
| Fe ₂ O ₃ * | 1.70 | 5.72 | 3.85 | 8.34 | 5.87 | 5.62 | 5.62 | 5.76 | 11.07 | 5.68 | 5.65 | 10.81 | |
| MgO | 0.30 | 2.48 | 1.36 | 7.80 | 5.42 | 2.43 | 2.43 | 2.49 | 11.03 | 2.46 | 2.45 | 4.41 | |
| MgO | 0.30 | 2.48 | 1.36 | 7.80 | 5.42 | 2.43 | 2.43 | 2.49 | 11.03 | 2.46 | 2.45 | 4.41 | |
| CaO | 2.12 | 3.52 | 1.64 | 5.91 | 4.39 | 3.45 | 3.46 | 3.54 | 10.21 | 3.49 | 3.47 | 0.99 | |
| Na ₂ O | 3.96 | 3.94 | 3.34 | 3.20 | 3.74 | 3.87 | 3.87 | 3.97 | 1.54 | 3.91 | 3.89 | 1.60 | |
| K ₂ O | 3.98 | 1.57 | 2.20 | 3.72 | 3.63 | 1.54 | 1.54 | 1.58 | 0.30 | 1.56 | 1.55 | 0.55 | |
| P_2O_5 | 0.0088 | 0.12 | 0.026 | 0.61 | 0.42 | 0.12 | 0.12 | 0.12 | 0.91 | 0.12 | 0.12 | 0.071 | |
| | ppm | | | | | | | | | | | | |

Продолжение таблицы 6

| Образец | MSK- 5/5a | MSK- 11/5a | MSK- 16/3a | MSK- 51/1 | MSK- 53/6 | MSK- 53/1 | MSK- 51/4a | MSK- 53/7 | MSK- 53/8 | MSK- 87 | MSK- 51/3a | MSK- 7/2 |
|---------|--------------|---------------|---------------|--------------|--------------|--------------|---------------|--------------|--------------|------------|---------------|-------------|
| 1 , | Эндер | биты | Тоналиты | | Гнейсы | l . | | | | | | |
| | | | | | | % | | | | | | |
| La | 14.9 | 36.9 | 22.8 | 54.5 | 53.5 | 36.2 | 36.2 | 37.1 | 52.2 | 36.6 | 36.4 | 29.7 |
| Ce | 24.5 | 62.4 | 41.1 | 116.7 | 105.9 | 61.2 | 61.2 | 62.8 | 139.7 | 61.9 | 61.6 | 56.8 |
| Pr | 2.62 | 6.14 | 4.49 | 14.2 | 12.2 | 6.02 | 6.02 | 6.18 | 19.7 | 6.09 | 6.06 | 6.26 |
| Nd | 9.63 | 21.4 | 16.7 | 58.8 | 48.6 | 21.0 | 21.0 | 21.6 | 89.3 | 21.3 | 21.1 | 24.3 |
| Sm | 2.10 | 4.52 | 4.24 | 16.4 | 14.2 | 4.44 | 4.44 | 4.55 | 17.5 | 4.49 | 4.46 | 3.97 |
| Eu | 0.79 | 1.37 | 0.72 | 3.35 | 2.47 | 1.34 | 1.34 | 1.38 | 3.81 | 1.36 | 1.35 | 0.94 |
| Gd | 1.30 | 2.85 | 2.56 | 10.0 | 7.99 | 2.80 | 2.80 | 2.87 | 15.5 | 2.83 | 2.82 | 4.35 |
| Tb | 0.11 | 0.25 | 0.33 | 1.08 | 0.82 | 0.24 | 0.24 | 0.25 | 1.75 | 0.24 | 0.24 | 0.64 |
| Dy | 0.52 | 1.12 | 1.67 | 4.51 | 3.19 | 1.09 | 1.10 | 1.12 | 6.91 | 1.11 | 1.10 | 3.72 |
| Но | 0.05 | 0.21 | 0.25 | 0.68 | 0.51 | 0.20 | 0.20 | 0.21 | 1.12 | 0.20 | 0.20 | 0.73 |
| Er | 0.25 | 0.53 | 0.74 | 2.16 | 1.56 | 0.52 | 0.52 | 0.54 | 3.21 | 0.53 | 0.53 | 2.10 |
| Tm | 0.012 | 0.043 | 0.10 | 0.23 | 0.16 | 0.043 | 0.043 | 0.044 | 0.37 | 0.043 | 0.043 | 0.30 |
| Yb | 0.084 | 0.35 | 0.57 | 1.56 | 1.02 | 0.34 | 0.34 | 0.35 | 2.45 | 0.35 | 0.34 | 2.11 |
| Lu | 0.023 | 0.11 | 0.089 | 0.21 | 0.15 | 0.10 | 0.10 | 0.11 | 0.34 | 0.10 | 0.10 | 0.33 |
| REE | 57.0 | 138.3 | 96.5 | 284.3 | 252.4 | 135.7 | 135.7 | 139.2 | 353.7 | 137.2 | 136.5 | 136.4 |
| | | | | | | ppm | | | | | | |
| Sc | 55.1 | 55.7 | 4.64 | 13.2 | 5.83 | 54.6 | 54.6 | 56.0 | 30.2 | 55.2 | 54.9 | 29.2 |
| Y | 1.35 | 4.54 | 5.65 | 16.6 | 12.1 | 4.45 | 4.46 | 4.57 | 26.0 | 4.51 | 4.48 | 15.6 |
| Zr | 76.3 | 159.8 | 86.8 | 191.3 | 122.7 | 156.8 | 156.9 | 160.9 | 121.4 | 158.6 | 157.7 | 145.3 |
| Nb | 3.77 | 9.88 | 3.53 | 8.03 | 6.11 | 9.70 | 9.70 | 9.95 | 2.47 | 9.81 | 9.75 | 3.54 |
| Ba | 708.5 | 374.3 | 429.2 | 1447 | 1638 | 367.2 | 367.3 | 376.7 | 75.0 | 371.5 | 369.4 | 84.3 |
| Hf | 2.25 | 4.59 | 2.27 | 4.42 | 2.74 | 4.50 | 4.50 | 4.62 | 3.09 | 4.55 | 4.53 | 4.19 |
| Ta | 2.08 | 1.77 | 0.33 | 0.45 | 0.22 | 1.74 | 1.74 | 1.78 | 1.15 | 1.76 | 1.75 | 0.52 |
| Th | 2.34 | 13.5 | 6.34 | 5.53 | 6.00 | 13.3 | 13.3 | 13.6 | 3.45 | 13.4 | 13.3 | 5.65 |
| U | 1.84 | 1.01 | 2.56 | 0.64 | 0.22 | 0.99 | 0.99 | 1.01 | 1.16 | 1.00 | 0.99 | 0.91 |

Примечание. * — суммарное железо приведено в форме Fe_2O_3 . Методика измерений методом ICP приведена в работе (Николаев и др., 2016).

Таблица 7. Концентрации ЭПГ, Au, Ag, Cu и Ni в образцах Table 7. Concentrations of PGE, Au, Ag, Cu, and Ni in the samples

| Образец | MSK- 5/5a | MSK- 11/5a | MSK- 16/3a | MSK- 51/1 | MSK- 53/6 | MSK- 53/1 | MSK- 51/4a | MSK- 53/7 | MSK- 53/8 | MSK- 87 | MSK- 51/3a | MSK- 7/2 | | |
|---------|--------------|---------------|---------------|--------------|--------------|--------------|---------------|--------------|--------------|------------|---------------|-------------|--|--|
| 1 , | Энде | рбиты | Тоналиты | гы Гнейсы | | | Амфиболиты | | | | | | | |
| | | | | | | ppb | | | | | | | | |
| Ru | 0.071 | 0.069 | 0.026 | 0.020 | 0.034 | 0.034 | 0.043 | 0.026 | 0.16 | 0.028 | 0.045 | 0.035 | | |
| Rh | 0.280 | 0.180 | 0.001 | 0.013 | 0.019 | 0.044 | 0.093 | 0.020 | 0.82 | 0.009 | 0.163 | 0.027 | | |
| Pd | 14.400 | 17.400 | 2.240 | 3.570 | 4.090 | 4.440 | 7.280 | 4.090 | 64.90 | 2.660 | 10.700 | 5.660 | | |
| Ag | 0.210 | 0.250 | 0.310 | 0.250 | 0.220 | 0.210 | 0.110 | 0.160 | 1.37 | 0.340 | 0.380 | 0.450 | | |
| Ir | 0.120 | 0.130 | 0.100 | 0.110 | 0.100 | 0.082 | 0.090 | 0.081 | 0.20 | 0.059 | 0.120 | 0.148 | | |
| Pt | 5.060 | 6.080 | 1.650 | 0.820 | 1.680 | 2.930 | 3.700 | 1.200 | 12.60 | 1.390 | 2.540 | 2.040 | | |
| Au | 0.870 | 1.420 | 0.340 | 0.081 | 0.150 | 0.290 | 0.420 | 0.074 | 3.69 | 0.200 | 1.280 | 0.320 | | |
| Ni | 8.680 | 20.900 | 25.200 | 108.200 | 75.600 | 97.500 | 124.300 | 139.600 | 186.20 | 150.100 | 69.900 | 143.700 | | |
| Cu | 9.600 | 15.000 | 24.400 | 22.300 | 3.840 | 1.800 | 33.400 | 17.500 | 42.40 | 62.500 | 113.800 | 426.500 | | |

Примечание. Методика изотопных ЭПГ, Au, Ag, Cu и Ni методом ICP-MS приведена в работе (Чащин и др., 2018).

Выводы

В международной геологической литературе известно всего 35 выходов древнейших эоархейпалеоархейских ТТГ пород на всех кратонах мира (Bleeker, 2003). Новые Nordsim и SHRIMP данные по эоархейским цирконам из ТТГ гнейсов для пород фундамента Фенноскандинавского щита – гнейсы Siurua (Финляндия) и на территории г. Мурманск были определены недавно и являются существенным вкладом в мировой банк данных.

Таким образом, проведенное комплексное U-Pb и SHRIMP-II датирование магматических цирконов и их реликтовых ядер отразило два импульса формирования континентальной коры C-B части Фенноскандинавского щита ~ 3.70 и 3.16 млрд лет, что является важным для прогнозирования и изучения потенциала ЭПГ, Cr, Cu-Ni и BIF месторождений (Древнейшие породы СССР, 1984; Mitrofanov et al., 2019; Bayanova et al, 2022; Кольская платинометалльная провинция, 2023). Изотопно-геохимические Sm-Nd данные (модельный Sm-Nd возраст T_{DM}) для пород фундамента двух мегаблоков отразили интервалы формирования протолитов исходных пород от 3.4 до 2.9 млрд лет (табл. 4). Первичное значение Isr для гнейсов, амфиболитов, эндербитов и тоналитов двух мегаблоков, рассчитанных на время метаморфизма в 2.7 млрд лет отразило мантийные значения для протолитов исходных пород, вероятно близких по природе с псевдотахилитами на Анабарском щите (Глуховский и др., 2009).

Изучение методами ICP-MS концентраций ЭПГ, Ag, Au, Ni и Cu пород фундамента двух мегаблоков C-B части Фенноскандинавского щита впервые подтвердило вклад внеземного вещества на ранних этапах развития Земли.

Благодарности

Д. Вассербургу за 205 искусственный трассер. Ф. Корфу, У. Поллер, В. Тодту за помощь в постановке U-Pb метода по единичным зернам акцессорных минералов.

Работа выполнена в рамках темы НИР ГИ КНЦ РАН № FMEZ-2024-0004 и посвящена светлой памяти академика РАН Митрофанова Ф. П. (1935–2014), который всегда считал, что Балтийский щит является одним из древнейших в Мире.

Литература

- 1. Баянова Т. Б. Возраст реперных геологических комплексов Кольского региона и длительность процессов магматизма / Под ред. акад. Ф. П. Митрофанова. СПб. Изд-во: Наука. 2004. 172 с.
- 2. Глуховский М. З., Кузьмин М. И., Баженова Г. Н., Баянова Т. Б., Елизаров Д. В., Серов П. А. Sm–Nd и Rb–Sr-возраст и возможная природа пседотахилитов Анабарского щита // Доклады АН. 2009. Т. 425, № 4. С. 513–518.
- 3. Древнейшие породы СССР / Под ред. Митрофанова Ф. П. и Крыловой М. Д. 1984. Л. Изд-во: Наука. 91 с.
- 4. Екимова Н. А., Серов П. А., Баянова Т. Б., Елизарова И. Р., академик Митрофанов Ф. П. Распределение РЗЭ в сульфидных минералах и Sm-Nd датирование рудогенеза расслоенных базитовых интрузий // Доклады АН. 2011. Т. 436, № 1. С. 75–78.
- 5. Митрофанов Ф. П. и др. Кольская платинометалльная провинция. Апатиты. Изд-во: ФИЦ КНЦ РАН. 2023 г. 195 с. https://doi.org/10.37614/978.5.91137.493.8.
- 6. Морозова Л. Н., Митрофанов Ф. П., Баянова Т. Б., Ветрин В. Р., Серов П. А. Гомологи архейских пород разреза Кольской сверхглубокой скважины в северной части Беломорского подвижного пояса (полигон Воче-Ламбина) // Доклады АН. 2012. Т. 442, № 2. С. 215–218.
- 7. Мыскова Т. А., Милькевич Р. И., Глебовицкий В. А., Львов П. А., Бережная Н. Г. Новые данные о возрасте (U-Pb, SHRIMP-II) цирконов из глиноземистых гнейсов Кольской серии архея Балтийского щита и проблема их интерпретации // Доклады АН. 2015. Т. 463, № 3. С. 323.
- 8. Чекулаев В. П., Арестова Н. А., Глебовицкий В. А., Лобач-Жученко С. Б., Матвеева Л. В., Лепёхина Е. Н. Новые данные о возрасте архейских пород Заонежья (Водлозерский домен Карельского кратона) // Доклады АН. 2013. Т. 451, № 6. С. 670.
- 9. Чащин В. В., Петров С. В., Дрогобужская С. В. Малосульфидное платино-палладиевое месторождение Лойпишнюн Мончетундровского базитового массива (Кольский полуостров, Россия) // Геология рудных месторождений. 2018. Т. 60, № 5. С. 472–503.

- 10. Arndt N. How did the continental crust form: No basalt, no water, no granite // Precambrian Research. 2023. V. 397. P. 107196. https://doi.org/j.precamres.2023.107196.
- 11. Bayanova T. B., Bazay A. V., Steshenko E. N., Kunakkuzin E. L., Serov P. A., Borisenko E. S., Elizarov D. V. Mesoarchaean banded iron formations of the Fennoscandian Shield: new zirconU-Pb (ID-TIMS and SHRIMP-II) isotope ages of noble metal mineralization and Nd-Sr data on whole rocks // International Geology Review. 2022. P. 1–15. https://doi.org/10.1080/00206814.2022.2153386.
- 12. Bleeker W. The late Archean record: puzzle in ca. 35 pieces // Lithos. 2003. V. 71. P. 99–134.
- 13. Glikson A. Y., Vickers J. Asteroid impact connections of crustal evolution // Australian Journal of Earth Sciences. 2010. V. 57. P. 79–95.
- 14. Glikson A. Y. The Archaean: Geological and Geochemical Windows into the Early Earth. Springer. 2014. V. 238 p.
- 15. Hanchar E., Hoskin P. Zircon. Reviews in Mineralogy & Geochemistry. Mineralogical Society of America. 2003. V. 53. 500 p.
- 16. Hölttä P., Heilimo E., Huhma. H., Juopperi H., Kontinen A., Konnunaho H., Lauri L., Mikkola P., Paavola J., Sorjonen-Ward P. Archaean complexes of the Karelia Province in Finland // Geological Survey of Finland. Special Paper. 2012. No. 54. P. 9–20.
- 17. Huhma H., Manttari I., Peltonen P., Kontinen A., Halkoaho T., Hanski E., Hokkanen T., Hölttä P., Juopperi H., Konnunaho J., Layahe Y., Luukkonen E., Pietikäinen K., Pulkkinen A., Sorjonen-Ward P., Vaasjoki M., Whitehouse M. The age of Archaean greenstone belts in Finland // Geological Survey of Finland, Special. No. 54. 2012. P. 74–175.
- 18. Koeberl C., Schulz T., Huber M. S. Precambrian impact structures and ejecta on earth: A review // Precambrian Research. 2024. V. 411. P. 107511. https://doi.org/10.1016/j.precamres.2024.107511.
- Larionov A. N., Andreichev V. A., Gee D. G. The Vendian alkaline igneous suite of northern Timan: ion microprobe U-Pb zircon ages of gabbros and syenite // The Neoproterozoic Timanide Orogen of Eastern Baltica / (Eds.) D. G. GEE & V. L. PEASE. Geological Society, London, Memoirs. 2004. No. 30. P. 69-74.
- 20. Lobach-Zhuchenko S. B., Chekulayev V. P., Sergeev S. A., Levchenkov O. A., Krylov I. N. Archaean rocks from southeastern Karelia (Karelian granite greenstone terrain) // Precambrian Research. 1993. V. 62. P. 375–397.
- 21. Moyen J-F, Martin H. Forty years of TTG research // Lithos. 2012. V. 148. P. 312–336.
- 22. Mitrofanov F. P., Bayanova T. B., Korchagin A. U., Chashchin V. V., Nerovich L. I., Serov P. A., Zhirov D. V., Ludden J. N., Mitrofanov A. F. Origin and exploration of the Kola PGE-bearing province: new constraints from geochronology // Geophysical Monograph Series. 2019. No. 242. P. 3–36.
- 23. Nerovich L. I., Kaulina T. V., Bayanova T. B., Il'chenko V. L., Gannibal M. A., Kunakkuzin E. L., Bazai A. V., Mudruk S. V., Borisenko E. S., Sosnovskaya M. A. Granophyre Norites and Diorites of the Jarva-Varaka Massif (Monchegorsk Ore Area, Kola Region, Russia): Geology, Petrography, Geochemistry, Geochronology and Origin // Geochemistry International. 2023. P. 1–21. https://doi.org/10.1134/S0016702923060071.
- 24. Sergeev S. A., Bibikova E. V., Matukov D. I., Lobach-Zhuchenko S. B. Age of the magmatic and metamorphic processes in the Vodlozero complex, Baltic Shield: an ion microprobe (SHRIMP II) U-Th-Pb isotopic study of zircons // Geochemistry International. 2007. V. 45, No. 2. P. 198–205.
- 25. Schmieder M., Kring D. A. Earth's Impact Events Through Geologic Time: A List of Recommended Ages for Terrestrial Impact Structures and Deposits // Astrobiology. 2020. V. 20, No. 1. P. 91–141. https://doi.org/10.1089/ast.2019.2085.
- 26. Stacey J. S., Kramers J. D. Approximation of terrestrial lead isotope evolution by a two-stage model // Earth and Planet. Sci. Lett. 1975. V. 26, No. 2. P. 207–221.
- 27. Treatise on Geochemistry // Elsevier Science. 2003. V. 1–3. 7800 p.
- 28. Earth's Oldest Rocks / (Eds.) M. J. Van Kranendonk, V. C. Bennett, J. E. Hoffmann. Amsterdam: Elsevier. 2019. 1112 p.